

Simulated Annealing (Recozimento Simulado)

UFMG

10/11/2025

Sumário

1 Simulação de Recozimento

- Introdução
- Processo de Recozimento
- Aplicabilidade
- Teoria
- Algoritmo Geral de Recozimento Simulado
- Implementação

Recozimento Simulado - Introdução

Também chamado de método meta-heurístico, este tem como intuito resolver problemas de otimização de grande complexidade. Este algoritmo foi introduzido por volta de 1980 por três pesquisadores, sendo eles: Kirkpatrick, Gelatt e Vecchi. O método traz soluções sub-ótimas, ou seja, eficientes e sem grande esforço computacional.

Tem como objetivo encontrar resultados satisfatórios, ainda que não exatos, sendo que muitas vezes estes resultados são inviáveis e/ou difíceis de serem alcançados.

Se enquadra na classe *Markov chain Monte Carlo* (MCMC) e, por ter caráter estocástico alinhado à sua capacidade de escapar de mínimos locais, este é um ótimo candidato para resolução de problemas complexos de otimização.

Processo de Recozimento

O conceito foi introduzido da ideia de recozimento, onde um sólido é levado para um estado de baixa energia após aumentar sua temperatura.

O processo consiste em duas etapas, sendo elas:

- "Derretimento" da sua estrutura ao levá-lo a uma temperatura muito elevada.
- Resfriamento esquematizado buscando atingir um estado sólido de energia mínima.

Uma vez em estado líquido as partículas do material exposto são distribuídas de forma aleatória.

O estado mínimo de energia só é alcançado com uma temperatura inicial que seja suficientemente alta e um tempo de resfriamento que seja logo o suficiente.

Aplicabilidade

O algoritmo **Simulated Annealing** tem aplicabilidade em várias áreas e aqui serão expostas algumas delas:

- Engenharia de software
- *Machine Learning*
- Teoria de filas
- Processos de manufatura
- logística e transporte com otimização

Dist. Weibull Tri-Paramétrica

O estudo será centrado em estimar os parâmetros primeiramente de uma distribuição Weibull com a seguinte função densidade:

$$f(x) = \frac{\beta}{\eta} \left(\frac{x-\gamma}{\eta} \right)^{\beta-1} e^{-\frac{x-\gamma}{\eta}^\beta}; \quad \beta > 0, \quad \eta > \gamma \geq 0. \quad (1)$$

Tenha ciência também que sua acumulada tem o seguinte resultado:

$$F(x) = 1 - e^{-\frac{x-\gamma}{\eta}^\beta},$$

sendo β , η , γ os parâmetros de forma, escala e locação, respectivamente.

A distribuição Weibull tri-paramétrica é raramente usada devido à dificuldade de se estimar estes parâmetros. Portanto, o uso de SA será feito para tentar estimar estes parâmetros. Aqui o algoritmo será fundamental para maximizar a função de verossimilhança.

Estimação por EMV

Temos ciência que a função de máxima verossimilhança é descrita da seguinte forma:

$$L(x) = \prod_{i=1}^n f_{x_i}(x_i; \theta)$$

Com isso, a log-verossimilhança é a seguinte:

$$\ln(L(x_1, \dots, x_n, \beta, \eta, \gamma)) = n \ln\left(\frac{\beta}{\eta}\right) + \sum_{i=1}^n \left(-\left(\frac{x_i - \gamma}{\eta}\right)^\beta + (\beta - 1) \ln\left(\frac{x_i - \gamma}{\eta}\right) \right). \quad (2)$$

Para encontrar as estimativas dos parâmetros devemos realizar as derivadas parciais e igualar a zero, da seguinte forma:

$$\frac{\partial}{\partial \theta} \ln(L(x)) = 0$$

Fica evidente que esta é uma função bem difícil de derivar, necessitando derivar gradiente ou mesmo aplicar métodos numéricos, portanto prosseguiremos para a ideia geral do algoritmo SA

Algoritmo

A principal vantagem deste método perante os demais é fato de que este, ao se empregar uma busca aleatória, **não se prende a pontos de mínimos locais**. O algoritmo aceita mudanças que aceitam a diminuição e também o aumento da função objetivo f . O seu aumento é aceito com probabilidade: $p = e^{-\frac{\Delta}{T}}$ sendo θ o aumento e T o parâmetro de controle, analogamente conhecido como temperatura do sistema. A sua implementação é simples:

- Uma representação de soluções possíveis,
- Um gerador de mudanças aleatórias nas soluções,
- Um meio de avaliar as funções do problema, e
- Um esquema de resfriamento (annealing schedule) – uma temperatura inicial e regras para diminuí-la à medida que a busca progride.

```

simulated_annealing <- function(f, S0, T0, L, alpha, T_min) {
  T <- T0; S <- S0
  S_star <- S0; f_S <- f(S)
  f_S_star <- f_S
  while (T > T_min) {
    for (n in 1:L) {
      S_n <- gerar_vizinho(S)
      f_S_n <- f(S_n); Delta <- f_S_n - f_S
      if (Delta <= 0) {
        S <- S_n; f_S <- f_S_n
      } else {
        p <- exp(-Delta / T)
        if (runif(1) < p) {
          S <- S_n; f_S <- f_S_n
        }}}
    if (f_S < f_S_star) {
      S_star <- S; f_S_star <- f_S
    }
    T <- T * alpha
  }
  return(list(best_solution = S_star, best_cost = f_S_star))
}

```

Por ser um algoritmo meta-heurístico, urge a importância de o mesmo ter a possibilidade de aceitar uma solução pior, evitando que o algoritmo caia em um máximo local e permaneça por lá. Claramente a probabilidade de aceitar uma pior solução diminui na mesma medida que a temperatura cai em cada um dos outros ciclos. A performance do algoritmo portanto é definida dentro de parâmetros de controle, sendo eles:

- A temperatura inicial (T_0) deve ser grande o suficiente para que na primeira iteração do algoritmo, a probabilidade de aceitação de um cenário ruim seja, pelo menos 80%;
- É utilizada a função de redução, sendo esta geométrica compreendida por:
 $T_i = CT_{i-1}$, onde $C < 1$, constante e se encontra usualmente entre 0.75 e 0.95;
- O tamanho de cada nível de temperatura determina o número de soluções geradas em uma certa temperatura T;
- O critério de parada define quando o sistema encontrou o nível de energia desejado. Em suma, isso define:
 - O total de números de soluções geradas.
 - A temperatura a cada nível de energia desejado.
 - A razão de aceitação (entre o número de soluções aceitadas e geradas).

Algoritmo SA para Maximização da Verossimilhança

Estimativa de β, η, γ

Passo	Ação / Descrição
1	Obter Amostra aleatória (tamanho grande o suficiente).
2	Determinar Parâmetros de Controle (T_0, T_f, C, I).
3	Gerar Solução Inicial aleatória (a, b, c).
4	Computar Verossimilhança Inicial (L) na solução (a, b, c). Loop Externo (Resfriamento)
5	Enquanto $T > T_0$: $T \leftarrow CT$
Loop Interno (Equilíbrio)	
6	Para $i = 1$ a I :
6.1	Gerar Vizinho: Gerar a_1, b_1, c_1 vizinhos de a, b, c .
6.2	Calcular Verossimilhança Vizinha (L_0) em (a_1, b_1, c_1) .
6.3	Avaliar Parâmetros (Critério de Metropolis):
6.3.1	Se $L_0 > L$ (Melhora): $a \leftarrow a_1, b \leftarrow b_1, c \leftarrow c_1, \text{ e } L \leftarrow L_0$
6.3.2	Senão (Piora): Gerar $u \sim \text{Uni}(0, 1)$.

6.3.2.1

Se $u < e^{\frac{(F_0 - F)}{T}}$ (Aceitação Probabilística):

$$a \leftarrow a_1, b \leftarrow b_1, c \leftarrow c_1$$

(Fim do Loop Interno)

(Fim do Loop Externo)

7

Resultado: Imprimir a, b, c e L .

Nota: a, b, c são estimativas de β, η, γ . F é uma função de custo/energia (ex: $-\ln(L)$).

Código implementado

```
loglik_weibull3 <- function(params, x) {  
  b <- params[1] # beta (forma)  
  g <- params[2] # eta (escala)  
  c <- params[3] # gamma (locação)  
  
  if (b <= 0 || g <= 0 || any(x <= c)) {  
    return(-Inf)  
  }  
  
  z <- (x - c) / g  
  # Fórmula Log-Verossimilhança (Eq 7 do artigo)  
  ll <- length(x) * (log(b) - log(g)) + sum((b - 1) * log(z) - (z^b))  
  return(ll)  
}
```

```
propose_neighbor <- function(curr, x, sds = c(0.1, 0.1, 0.1)) {  
  attempt <- 0  
  min_x <- min(x)  
  repeat {  
    attempt <- attempt + 1  
    b1 <- curr[1] + rnorm(1, mean = 0, sd = sds[1])  
    g1 <- curr[2] + rnorm(1, mean = 0, sd = sds[2])  
    c1 <- curr[3] + rnorm(1, mean = 0, sd = sds[3])  
    if (b1 <= 0) {  
      b1 <- abs(b1) + 1e-6  
    }  
    if (g1 <= 0) {  
      g1 <- abs(g1) + 1e-6  
    }  
    if (c1 < min_x - 1e-8) {  
      return(c(b1, g1, c1))  
    }  
    if (attempt > 50) {  
      sds[3] <- sds[3] * 1.5  
    }  
    if (attempt > 1000) {  
      return(c(b1, g1, min_x - 1e-6))}}}
```

```
sa_weibull3 <- function(
x,
init = NULL,
T0 = 100,
Tf = 0.001,
cooling_rate = 0.99,
L = 5,
sds = c(0.1, 0.1, 0.1)
) {
  n <- length(x)
  # Lógica de Inicialização (Simplificada)
  if (is.null(init)) {
    c0 <- min(x) - 0.1 * sd(x)
    if (c0 >= min(x)) {
      c0 <- min(x) - 1e-3
    }
    y <- x - c0
    y[y <= 0] <- min(y[y > 0]) * 0.1
    y_sorted <- sort(y)
    prob_rank <- (1:n) / (n + 1)
    ln_y <- log(y_sorted)
    ln_ln <- log(-log(1 - prob_rank))
  }
}
```

```
fit <- try(lm(ln_ln ~ ln_y), silent = TRUE)
if (inherits(fit, "try-error")) {
  init <- c(1.5, sd(x), min(x) - 0.1)
} else {
  b0 <- fit$coefficients[2]
  g0 <- exp(-fit$coefficients[1] / b0)
  init <- c(b0, g0, c0)
  if (
    !is.finite(b0) || !is.finite(g0) || !is.finite(c0) || b0 <= 0 || g0
  ) {
    init <- c(1.5, sd(x), min(x) - 0.1)
  }
}
curr <- init
curr_ll <- loglik_weibull3(curr, x)
best <- curr
best_ll <- curr_ll
T <- T0
history <- data.frame(eval = 1, ll = curr_ll)
eval_count <- 1

# Loop SA
```

```
while (T > Tf) {  
  for (i in 1:L) {  
    prop <- propose_neighbor(curr, x, sds = sds)  
    prop_ll <- loglik_weibull3(prop, x)  
    if (prop_ll > curr_ll) {  
      curr <- prop  
      curr_ll <- prop_ll  
    } else {  
      delta_ll <- prop_ll - curr_ll  
  
      if (runif(1) < exp(delta_ll / T)) {  
        curr <- prop  
        curr_ll <- prop_ll  
      }  
    }  
    if (curr_ll > best_ll) {  
      best <- curr  
      best_ll <- curr_ll  
    }  
    eval_count <- eval_count + 1  
    history <- rbind(history, data.frame(eval = eval_count, ll = curr_ll))  
  }  
  T <- cooling_rate * T}
```

```
return(list(  
    best_params = best,  
    best_ll = best_ll,  
    history = history,  
    evals = eval_count  
))  
}
```

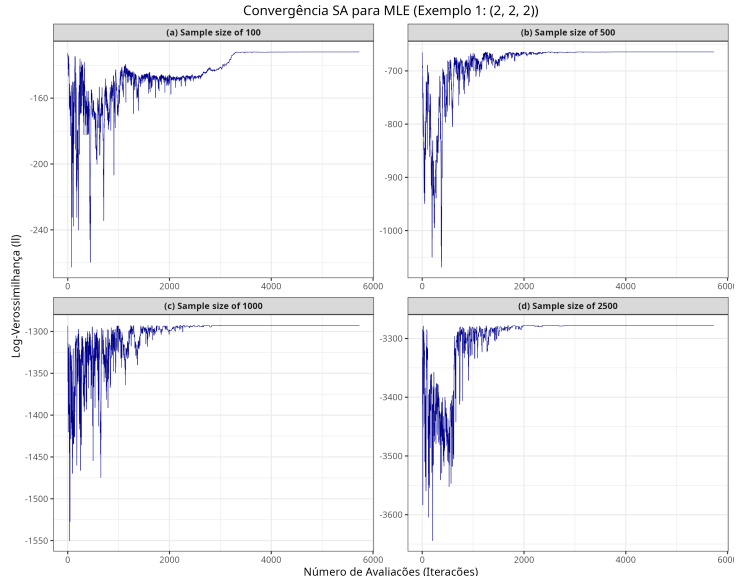
Resultados da Estimação por Recozimento Simulado

Weibull ($\beta = 2$, $\eta = 2$, $\gamma = 2$)

Weibull parameters	(2, 2, 2)			
Measure	2500	1000	500	100
Estimated parameters (β , η , γ)	(2.0298, 2.0338, 1.9995)	(1.9511, 1.9051, 2.0354)	(1.8329, 1.9306, 2.0718)	(1.8392, 1.6363, 2.2518)
Likelihood function at the real values	-3234.8000	-1305.5000	-618.3805	-137.2584
Likelihood function at the estimated value	-3235.4000	-1301.8000	-615.3697	-134.6563
Run time (s)	100.6719	96.2500	89.6094	72.2188

Resultados da Estimação por Recozimento Simulado

Weibull ($\beta = 2$, $\eta = 2$, $\gamma = 2$)



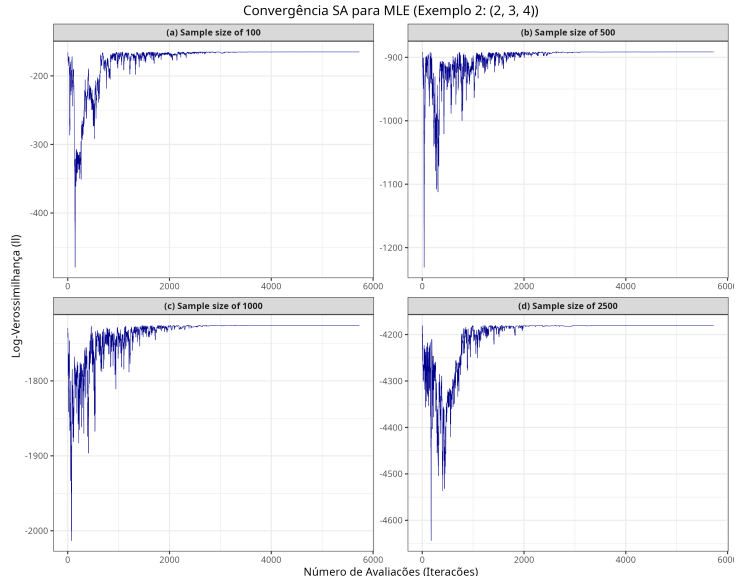
Resultados da Estimação por Recozimento Simulado

Weibull ($\beta = 2$, $\eta = 2$, $\gamma = 2$)

Weibull parameters	(2, 2, 2)			
Measure	2500	1000	500	100
Estimated parameters (β , η , γ)	(2.0298, 2.0338, 1.9995)	(1.9511, 1.9051, 2.0354)	(1.8329, 1.9306, 2.0718)	(1.8392, 1.6363, 2.2518)
Likelihood function at the real values	-3234.8000	-1305.5000	-618.3805	-137.2584
Likelihood function at the estimated value	-3235.4000	-1301.8000	-615.3697	-134.6563
Run time (s)	100.6719	96.2500	89.6094	72.2188

Resultados da Estimação por Recozimento Simulado

Weibull ($\beta = 2$, $\eta = 2$, $\gamma = 2$)



Resultados da Estimação por Recozimento Simulado

Weibull ($\beta = 2$, $\eta = 2$, $\gamma = 2$)

Weibull parameters	(2, 2, 2)			
Measure	2500	1000	500	100
Estimated parameters (β , η , γ)	(2.0298, 2.0338, 1.9995)	(1.9511, 1.9051, 2.0354)	(1.8329, 1.9306, 2.0718)	(1.8392, 1.6363, 2.2518)
Likelihood function at the real values	-3234.8000	-1305.5000	-618.3805	-137.2584
Likelihood function at the estimated value	-3235.4000	-1301.8000	-615.3697	-134.6563
Run time (s)	100.6719	96.2500	89.6094	72.2188

Resultados da Estimação por Recozimento Simulado

Weibull ($\beta = 2$, $\eta = 2$, $\gamma = 2$)

